2113414416 11116 4 PS 11 PP S 11 PP S

Տեխնիկական գիտութ, սեբիա

XIV, No 4, 1961

Серия технических наук

СТРОИТЕЛЬНАЯ МЕХАНИКА

Б. О. ГЕВОРКЯН

РАСЧЕТ ПАНЕЛЕЙ ПЕРЕКРЫТИЯ В ВИДЕ ПОЛОГИХ ОБОЛОЧЕК ДВОЯКОЙ КРИВИЗНЫ ПО МЕТОДУ ПРЕДЕЛЬНОГО РАВНОВЕСИЯ*

В статье приводится расчет по методу предельного равновесия железобетонных панелей перекрытия в виде топкостенных пологих оболочек двоякой кривизиы, свободно опертых по всему прямолинейному контуру под равномерно распределенной нагрузкой интенсивность q кг м². По этому методу разрушающая нагрузка конструкции находится из условия предельного равновесия в момент непосредственно предшествующий разрушению.

Как известно, условие предельного равновесия можно записать либо в форме уравнений равновесия статический метод), либо по принципу возможных перемещений, в форме уравнения равенства работ внешних и внутрениих сил на заданном перемещений (кинематический метод).

Составление уравнений равновесия пространственных конструкций в стадии разрушения съязано с известными трудностями, поэтому пользуемся кинематическим методом, согласно которому уравнение равенства работ внешних и внутренних сил на заданных перемещениях записывается на основании схемы разрушения конструкции, рис. 1. полученной из опыта [1, 2].

В связи с изложенным, имеем:

$$A_{(i,j)} = A_I$$
, (1)

где A_{e,q_1} — работа внешних сил на заданном перемешении;

 A_i — работа внутренних сил.

Если работу внешних сил при q=1 кг \mathfrak{M}^2 обозначим $A_{(1,1)}$, то на основании (1) получим:

 $A_{(sy)} = q \ A_{(sx)} = A_I$

откуда

$$q = \frac{A_i}{A_{(i,\alpha)}} \ . \tag{2}$$

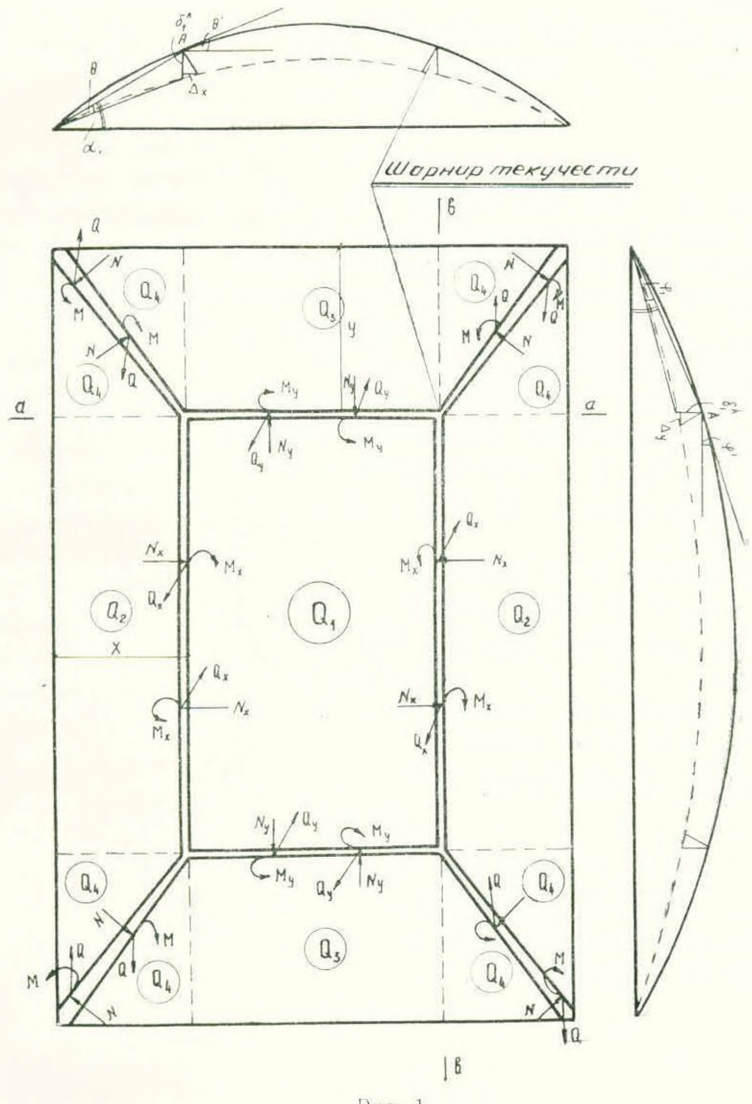
Для определения работы внешних и внутренних сил считаем, что оболочка в момент разрушения представляет собой механизм в виде отдельных пластинок, связащых между сообы, шарнирами текучести.

^{*} В порядке обсуждения. 🧈

² T. H., No 4

При разрушении оболочки перемещения ее неизвестны. Если в центре оболочка получает вертикальное перемещение равное δ_1 , то предельное перемещение средней пластинки составит лишь δ_1^A , а перемещения остальных пластинок представляют собой функцию от δ_1^A как для системы с одной степенью свободы.

Согласно рис. 1 работу внешних сил от собственного веса и полезной нагрузки) на заданиом перемещении δ_1^A , можно записать в следующем виде:



Puc. 1. $A_{(i,x)} = Q_1 \delta_1^A + 2Q_2 \frac{\delta_1^A}{2} + 2Q_3 \frac{\delta_1^A}{2} + 4Q_4 \frac{\delta_1^A}{3} = \delta_1^A \left(Q_1 + Q_2 + Q_3 + \frac{4}{2} Q_4 \right), \tag{3}$

где $Q_1;\;Q_2;\;Q_3;\;Q_4$ - нагрузки приходящиеся на пластинки;

$$\delta_1^A$$
; $\frac{\delta_1^A}{2}$; $\frac{\delta_1^A}{3}$ — перемещение соответствующих иластинок

В любом сечении пластических шарниров оболочки действуют три критических усилия $M,\ N$ и Q.

Поэтому работа внутрениих сил при предельном состоянии оболочки, без учета работы внутренних упругих сил, будет:

$$A_{i} = 2 \sum \left[(M_{x} l_{1} \theta - M_{y} l_{2} \varphi) + (N_{x} l_{1} \cos \theta' \Delta_{x}^{A} + N_{y} l_{2} \cos \varphi' \Delta_{y}^{A}) - (Q_{x} l_{1} \cos \theta' \delta_{1}^{A} - Q_{y} l_{2} \cos \varphi' \delta_{1}) - (F_{ax} a_{1} \Delta_{x}^{A} + F_{ay} \varphi_{ay} \Delta_{y}^{A}) \right], \tag{4}$$

где первый член правой части уравнения выражает сумму работ от момента в пластических шарнирах, второй член—работа горизонтальных составляющих сжимающих сил, третий член—работа поперечных сил, четвертый член—работа производимая арматурой контурных балок.

При этом:

 I_1 : I_2 — пролеты,

 θ ; φ' — углы перелома трещины но a-a н b-s;

 у' — углы между касательной и горизонталью к оси оболочки в точке .4;

 Δ_x^A ; Δ_y^A — горизонтальные перемещения точки A по X и Y;

 F_{ux} ; F_{ux} — сечения арматуры в ребрах по х и у;

 z_{ax} ; z_{ay} — напряжения в арматуре контурных болок по x и y.

Значение внутренних критических усилий оболочки в пластических шарнирах при одинарном армировании в опасном сечении определяется из следующих допущений:

- а) в стадии разрушения оболочка работает на внецентренное сжатие, а контурное ребро –на осевое растяжение [3].
- б) после появления трещин в оболочке деформация посредине между трещинами как в растянутой, так и в сжатой зоне по высоте сечения изменяется по линейному закону [4].
- в) в стадии разрушения нижняя растянутая арматура доходит то предела текучести и бетои в сжатой зоне достигает предела прочности [6, 7].

В силу этих допущений значение внутренних критических усилий будет:

$$M = Nc = F_0 R_u^0 Z, \tag{5}$$

$$Z = h_0 - \frac{x_0}{2}; \qquad x_k = \frac{R_u^n h_0}{E_k^n \epsilon_{ap} + R_u^n};$$

$$N = F_k R_u^n - F_a z_\tau;$$

$$Q = N \cos \theta' \sin \theta'.$$
(6)

В формулах влияние гибкости оболочки учитывается согласно НиТУ 123—57. Экспериментальные работы [5,7] показывают, что благодаря пространственной жесткости рассматриваемых конструкций предельная их деформация не влияет на изменение геометрических величии, входящих в уравнение работ, поэтому углы θ_t , φ_t , θ_t , φ' и горизонтальные перемещения Δ_x^A , Δ_y^A определяются путем использования геометрии заданной човерхности.

Если уравнение поверхности оболочки дано в виде:

$$Z = \frac{16f_0 x (I_2 - x) y (I_1 - y)}{I_1^2 I_2^2}$$
 (8)

то в любой точке оболочки величина вергикального перемещения определяется разностью ординат этой поверхности до и после деформации оболочки. Очевидно, вертикальное перемещение точки A (рис. 1) при перемещении в центре оболочки равном да будет:

$$\delta_1^{-1} \frac{16 \, \delta_1 \, x \, (I_2 - x \mid y \, (I_1 - y)}{I_1^2 \, I_2^2} \,. \tag{9}$$

Углы перелома трещины по a = a и b = b будут:

$$tgb = \frac{\delta_1^d}{x}; tg\phi = \frac{\delta_1^A}{y}, \qquad (10)$$

$$\sin \theta' = \frac{I_2 - 2x}{2R_2}; \quad \sin \varphi' - \frac{I_1 - 2y}{2R_1}$$
 (11)

где

$$R^{1} = \frac{I_{1}^{2} - 4f^{2}}{8f}; \qquad R_{2} = \frac{I_{1}^{2} - 4f^{2}}{8f}$$
 (12)

Горизонтальные перемещения трещин по a+a и b+b будет:

$$\Delta_{\mathbf{v}}^{A} = \delta_{1}^{A} t \mathbf{g} \mathbf{z}_{1}$$

$$\Delta_{\mathbf{v}}^{A} = \delta_{1}^{A} t \mathbf{g} \mathbf{z}_{2}, \tag{13}$$

где

$$tgz_1 = \frac{f^A}{x} \; ; \quad tgz_2 = \frac{f^A}{y} \; . \tag{14}$$

Имея значение впутренних критических усилий и соответствующих перемещений оболочки, работу внешних сил оболочки на заданлом перемещении $\tilde{\sigma}_1^A$, в развернутом виде можно записать так:

$$A_{(\delta x)} = (l_1 - 2y) (l_2 - 2x) \delta_1^A + 2 (l_1 - 2y) \frac{x \delta_1^A}{2} + 2 (l_2 - 2x) \frac{y \delta_1^A}{2} + \frac{8xy \delta_1^A}{2 \cdot 3} =$$

$$= \delta_1^A \left[l_1 - 2y \right) (l_2 - x) + y \left(l_2 - \frac{2x}{3} \right) \right]$$
(15)

Работа внутренних сил в развернутом виде, при

$$Q_{*} = N_{a} \cos \theta \sin \theta ;$$

$$Q_{y} = N_{y} \cos \varphi' \sin \varphi';$$

$$F_{ux}z_{ux} = 2 \cdot 1,15 \ N_{x} \ l_{1} = 2,3 \ N_{x}l_{1};$$

$$F_{ux}z_{uy} = 2 \cdot 1,2N_{y}l_{2} = 2,4 \ N_{y}l_{2};$$

будет:
$$A_i = 2 M_v l_1 \theta - 4.6 N_v l_1 \cos \theta' \Delta_v^A - 2N_v l_1 \cos^2 \theta' \sin^{-} \theta' \delta_1^A + 2M_v l_2 \varphi + 4.8 N_v l_2 \cos \varphi' \sin \varphi' \Delta_v^A - 2 N_v l_2 \cos^2 \varphi \sin \varphi \delta_1^A$$
. 15)

Разрушающая нагрузка оболочки выразится следующим уравнением:

$$q = \frac{\Sigma A_{i}}{\Sigma_{(2q)}} = \frac{2M_{x}l_{1}\theta + 4.6N_{x}l_{1}\cos\theta'\Delta_{x}^{A} - 2N_{x}l_{1}\cos^{2}\theta'\sin\theta\delta_{1}^{A}}{(l_{1} - 2y)(l_{2} - x)\delta_{1}^{A} + y(l_{2} - \frac{2x}{3})\delta_{1}^{A}} + \frac{2M_{y}l_{2}z + 4.8N_{y}\cosz'\sinz'\Delta_{y}^{A} - 2N_{y}l_{1}\cos^{2}z'\sinz'\delta_{1}^{A}}{(l_{1} - 2y)(l_{2} - x)\delta_{1}^{A} + y(l_{2} - \frac{2x}{3})\delta_{1}^{A}}$$

$$(17)$$

Из уравнения (17) ищем разрушающую нагрузку, при которой конструкция превращается в механизм с определенной схемой разрушения. Разрушающая нагрузка является паименьшей из всех кинематически возможных величин временной нагрузки [5]. Поэтому форма разрушения оболочки должна отвечать минимуму критического значения внешних сил и максимуму внутренних сил. В уравнении [17] разрушающая пагрузка представляет собой, как функция двух переменных X и Y, условие минимума внешних сил оболочки позволяет в каждом конкретном случае определить неизвестные и уточнить форму разрушения рис. 1. Значения X и Y определяются из совместного решения двух уравнений:

$$\frac{\partial q}{\partial x} = 0, \qquad \frac{\partial q}{\partial y} = 0. \tag{18}$$

Решение уравнений (18) связано с большими трудностями.

Значительно проще уравнение (17) решить графоаналитическим методом. Из экспериментов (6, 7, 8) известно, что в обычно применяемых очерганиях панелей зона образования трещин находится в пределах (0,2-0,25) I_2 и (0,15-0,20) I_1 в которых отношение $\frac{y}{x}$ не превышает 1,0-1,3.

Задаваясь отношением $\frac{y}{x} = k$, уравнение с двумя переменными (17) превращаем в уравнение с одним переменным, из которого графически находим ординаты минимума функции.

Графическое решение задачи представлено на рис. 2, гле ординаты минимума уравнения (17) найдены с помощью касательной к кривой, парадлельной прямой 1 = KX в точке M (a, s). Очевидно пересечение нормади к касательной с прямой y = kx в точке M (x, y)

даст искоемые ординаты уравнения (17). Эти ординаты х и у можно найти также аналитическим путем, исходя из уравнения прямой, про-

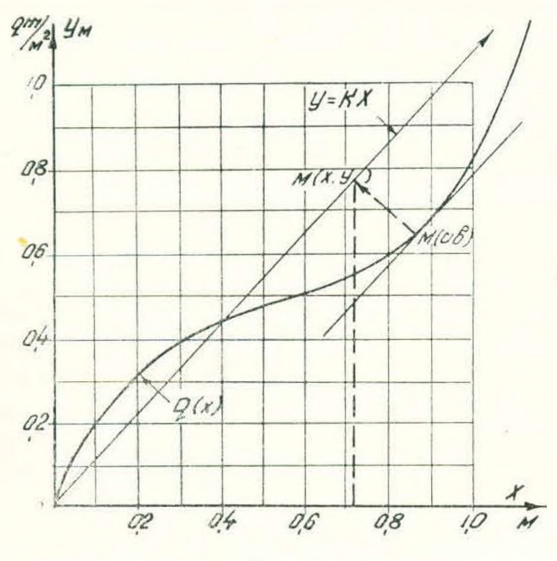


Рис. 2.

ходящей через заданную точку в данном направлении, на основании которой можно написать

$$y - b = k_1 (x - a);$$

$$y = kx,$$

$$k_1 = \frac{1}{b}.$$
(19)

гле

Решение этих уравнений позволяет найти искомые ординаты минимума первоначальной функции:

$$x = \frac{a + bk}{1 + k^2} \; ; \quad y = \frac{a + bk}{1 + \kappa^2} k \; . \tag{20}$$

Представляя получаемые значения х и у в уравнение (17), находим разрушающую нагрузку для оболочки.

Ниже, в таблице 1, приводится сопоставление некоторых результатов предложенного метода расчета с опытными данными.

Таблица (

Эксперименты	Разрушающая пагрузка $-q/\kappa^2/n^2$		Расхождение
	экспериментальная	теоретическая	в процентах
lo работе [5]	770	690	—11°/p
llo paŏore [7]	500	532	+6.5° "

При правильном армировании этих панелей обычно теоретическая разрушающая нагрузка получается несколько большая, чем экспериментальная, как это видно из примера по работе [7]. Сравнительно большое расхождение результатов по работе [5] объясняется тем, что продольная и поперечная арматура контурных балок панели не была сварена между собой.

Риститут стройматериалов и сооружений Госстроя Армянской ССР

Поступило 3.1.1960

B. 2. 944,009805

ԿՐԿՆԱԿԻ ԿՈՐՈՒԹՅԱՆ ՏԱՓԱԿԱՎՈՒՆ ԹԱՂԱՆԹ-ՊԱՆԵԼՆԵՐԻ ՀԱՇՎԱՐԿԸ ՄԱՀԾԱՆԱՅԻՆ ՀԱՎԱՍԱՐԱԿՇՈՒՈՒԹՅԱՆ ՄԵԹՈԳՈՎ

Հորվածում բերվում է բոլոր կողմերով հենվող երկախ բետոնի կրկնակի կորության խաղանխ-պանելի հաշվարկը սահմանային հավասարակչոււթյան կինհմատիկ մեթոլով, որի համաձայն խաղանխ-պանելի ներջին և արտաքին ուժերի կատարած աշխատանջների հավասարումը դրվում է փորձից ստացված թայրալման հաջերի սխեմայի հիման վրա (նկ. 1)

$$A_{(o,v)} = qA_{(o,v)} = Ai \tag{1}$$

$$q = \frac{At}{A_{(0,1)}},$$
(2)

sepont 9

Ai - ներքին ուժերի աշխատանքն է,

 $A_{t(x)} = db h$ demand when who need with meaning to the

[2] Sudmampred p by the summer induced f, before without f by f in the f by f in f in

$$\frac{\partial q}{\partial x} = O , \quad \frac{\partial q}{\partial x} = O \tag{3}$$

դանում ենքը այն մինչիմալ ուժը, որի տակ խաղանխը քայքայվում է։ |2| հավասարումը կարելի է լուժել դրաֆո<mark>անալիա</mark>իկ մեխոդով (նկ. 2)։

Հոդվածի վերջում բերվում է հիշլալ մեխողով ստացված տեսական քայթայվող ուժի և փորձից ստացված թալքալվող ուժի համեմատությունը մի թանի թաղանթ-պանելների համար։

ЛИТЕРАТУРА

- 1. Гвоздев А. А. Обоснование § 30 "Нормы проектирования железобетопных конструкций". Журн. "Строительная промышленность", № 3, 1939.
- Ржаницин А. Р. Расчет сооружений с учетом пластических свойств материалов Стройвоенмориздат. 1949.

- Штаерман Ю. Я. Вспарушенные плиты, проектирование и возведение. Гостехиздат Грузинской ССР, Тбилиси, 1954.
- Бернитейн И. С. Расчет конструкций с односторонними связями, Стройиздат. 1947.
- 5. Ярин В. П., Улицкий И. И. Экспериментальные исследование железобетонных панелей в виде пологих оболочек двоякой кривизны. Труды Академии Архитектуры Украинской ССР, выпуск VIII, Строительные конструкции, Киев, 1955.
- Б. Геворкин Б. О. Исследование крупнонанельных железобетонных вспарушенных перекрытий, опирающихся по углам. Научи, техи, отчет Института строительной техники Академии Архитектуры СССР, 1959.
- Геворкян Б. О. Экспериментальное и георетическое исследование панелей исрекрытия в виде оболочек двоякой кривизны. Научи, техи, отчет Института стройматериалов и сооружении АН АрмССР, 1956.